

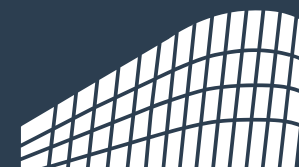
# Моделирование процессов вытеснения в пористых средах с периодической неоднородностью

К. Шаббир, О. Извеков, А. Конюхов

Московский физико-технический  
институт

ФАКТ - Секция нефтяного инжиниринга

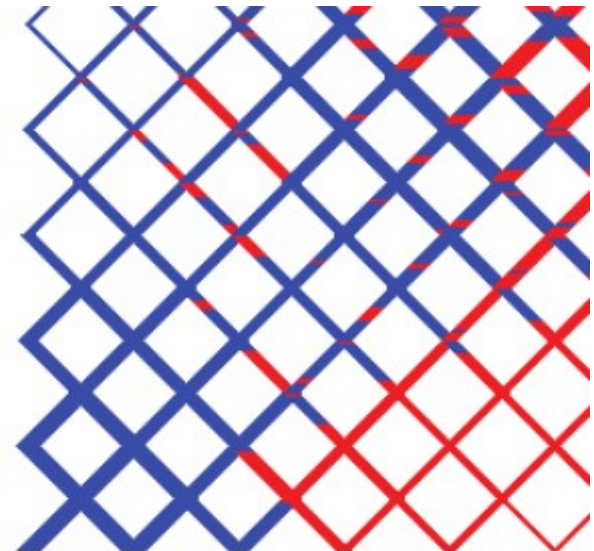
ГК-211, 11:00, 04.04.2025



**67**  
ВСЕРОССИЙСКАЯ  
НАУЧНАЯ  
КОНФЕРЕНЦИЯ  
МФТИ

# 1. Мотивация и цель

**Наша задача -  
моделирование эффектов  
капиллярной  
неравновесности  
двухфазных течений в  
пористой среде на основе  
неоднородной сетевой  
модели**



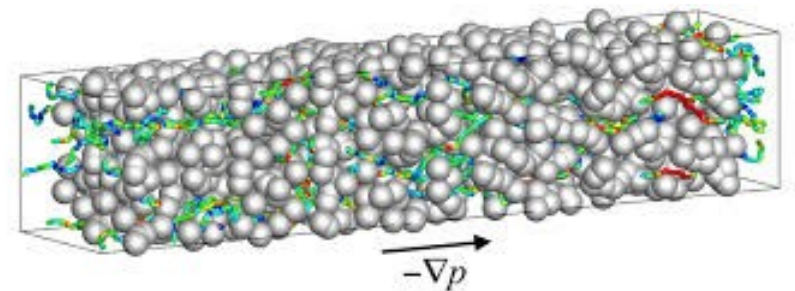
## 2. Классический подход (Дарси)

- Поток происходит в состоянии равновесия.
- Достаточно времени для перераспределения жидкости в капиллярах.
- Перестает работать в средах с неоднородностями, когда время установления равновесия велико.

$$Q = -\frac{K}{\mu} \nabla P,$$

$$S_k = \frac{V_k}{V_{\text{void}}}$$

$$K = K(S)$$

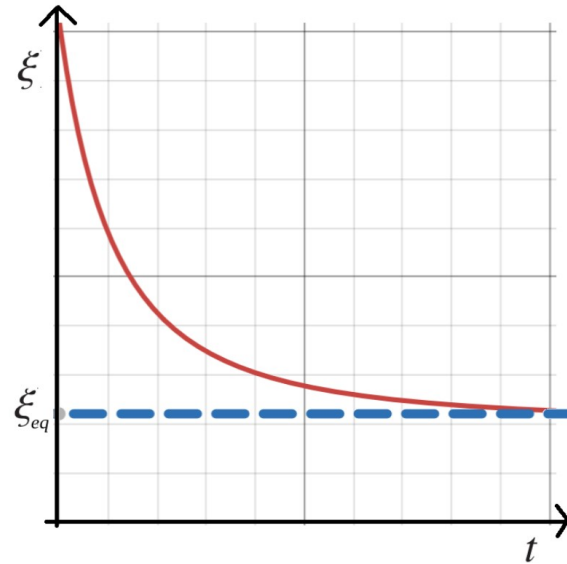


### 3. Усложненные модели

$$K = K\left(S, \frac{\partial S}{\partial t}\right).$$

**Barenblatt G. et al.** The mathematical model of nonequilibrium effects in water – oil displacement // 2003.

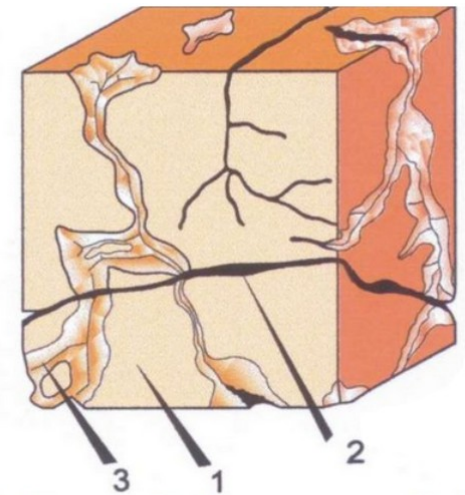
**Hassanizadeh S.** Continuum description of thermodynamic processes in porous media: Fundamentals and applications // 2004.



$$K_{\alpha} = K_{\alpha}(S, \xi),$$

$$\frac{\partial \xi}{\partial t} = \Omega(S, \xi).$$

**Модель  
неравновесности  
Кондаурова**

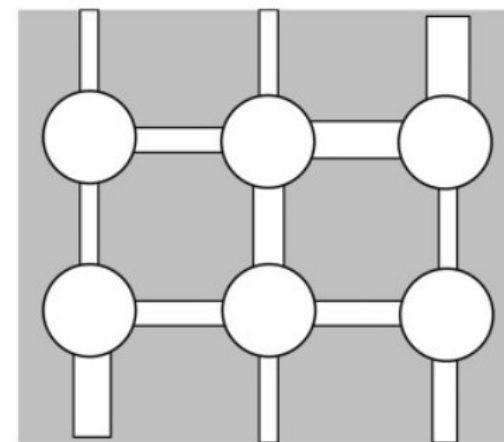
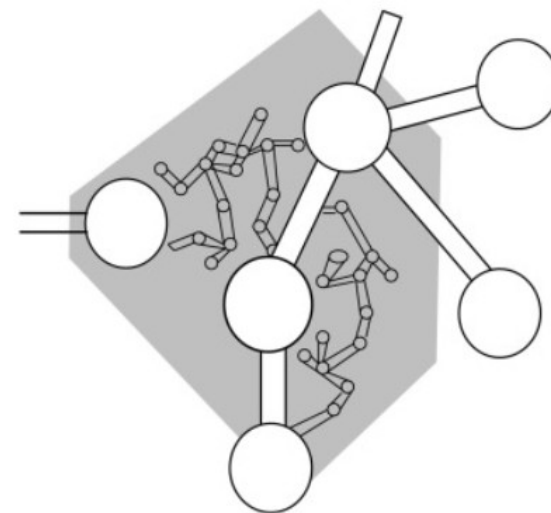


1 - Матрица  
2 - Макротрещины  
3 - Измененная часть  
породы с кавернами  
и микротрещинами

**Подход двойной  
пористости**

## 4. Сетевая модель

- Сетевая модель - численный эксперимент
- Проверка выводов континуальных моделей
- Уточнение физического смысла параметров
- Дополнение континуальной модели





# 5. Разные сетевые модели

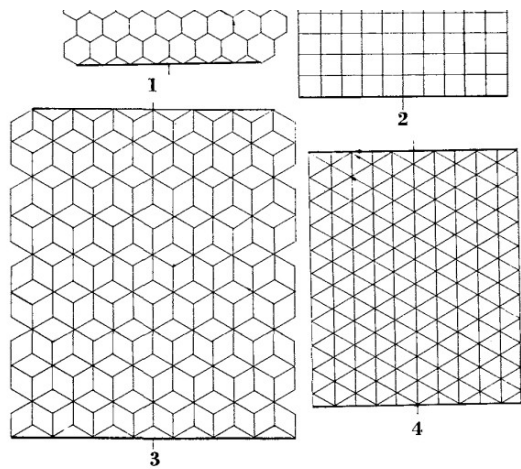
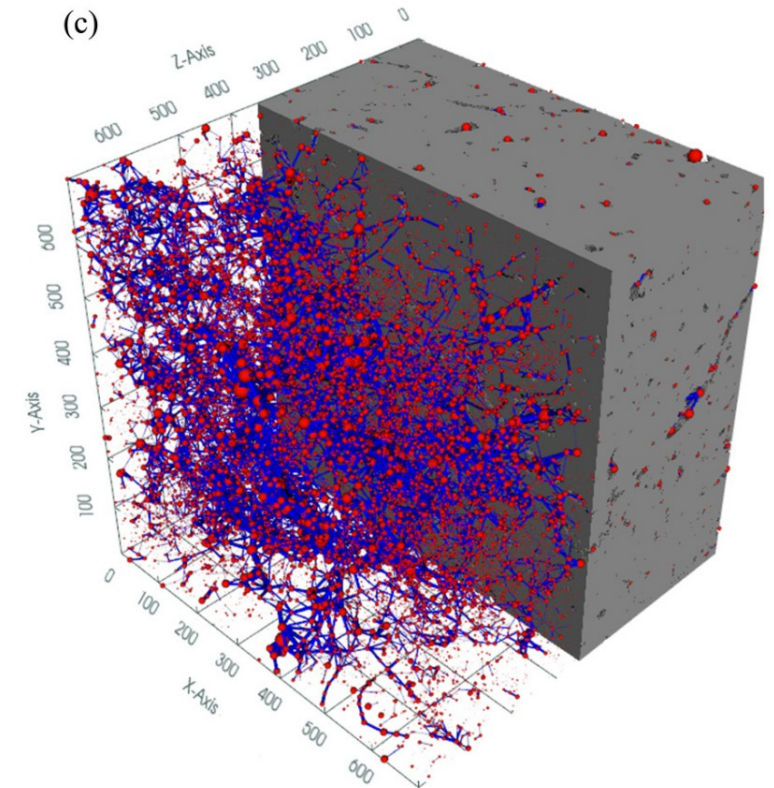
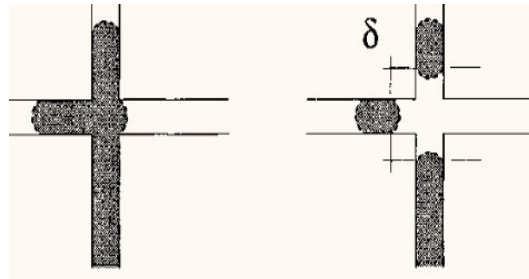
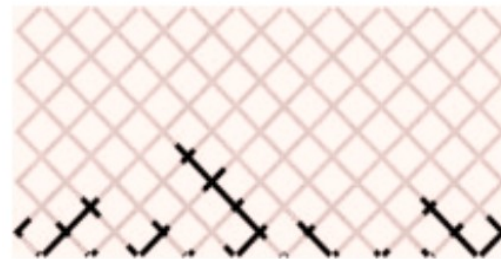


FIG. 1—SINGLE HEXAGONAL NETWORK.  
FIG. 2—SQUARE NETWORK.  
FIG. 3—DOUBLE HEXAGONAL NETWORK.  
FIG. 4—TRIPLE HEXAGONAL NETWORK.



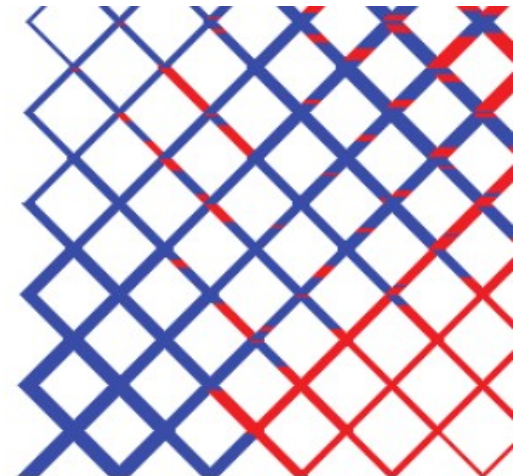
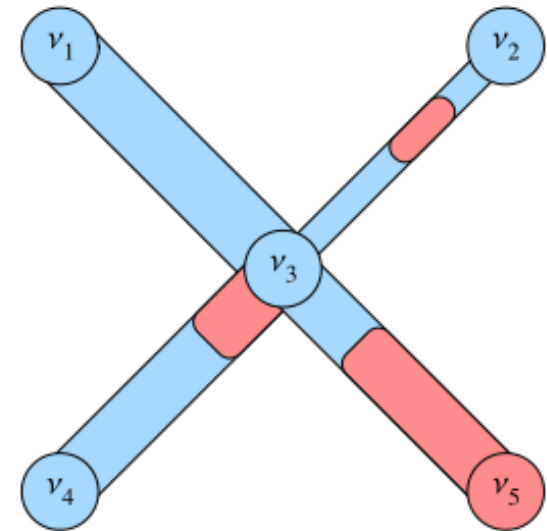
**Fatt I // 1956, USA**

**Aker E. et al. //  
1998, Norway**

**Zubov A et al. Pore-network  
extraction using discrete  
Morse theory // 2022, Russia**

## 6. Наша сетевая модель

- Капилляры представлены трубками, а поры — узлами
- 2D
- Разные радиусы
- Узлы не имеют объема
- Игнорируем гравитацию



## 6. Алгоритм

1. Генерация СЛАУ.
2. Расчет скорости во всех капиллярах.
3. Распределение различных жидкостей (новый метод).
4. Измерение насыщенности, капиллярного давления.

$$Q_{ij} = A_{ij} \Delta P_{ij} + B_{ij},$$

$$A_{ij} = \frac{\pi R_{ij}^4}{8 M_{ij} l};$$

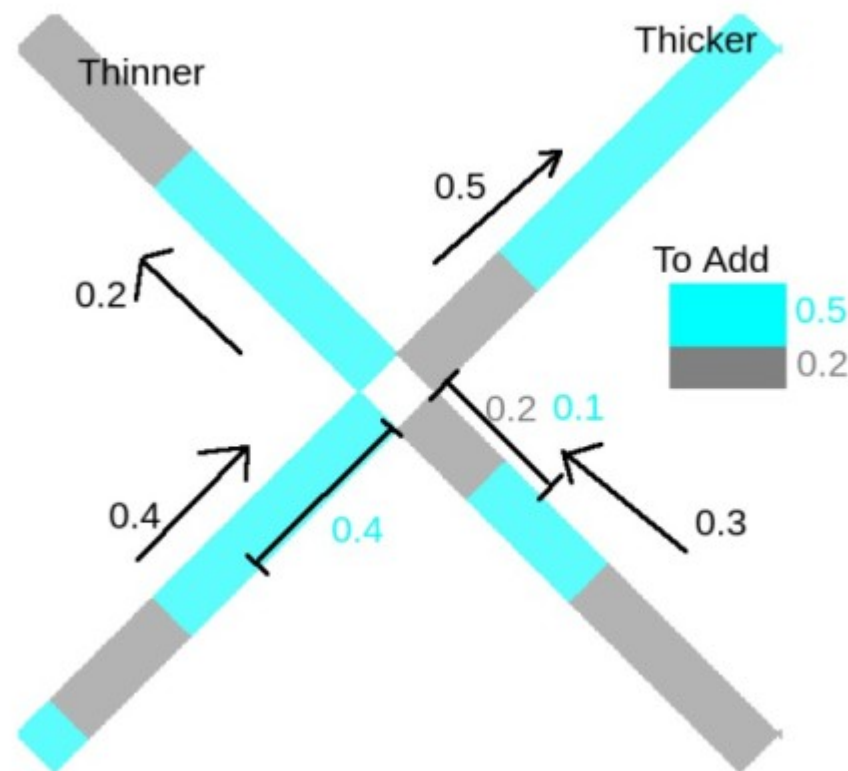
$$B_{ij} = \frac{\pi R_{ij}^4}{8 M_{ij} l} \frac{2 s_{ij} \sigma}{R_{ij}},$$

$$M = \sum_i \mu_i \frac{l_i}{l}$$

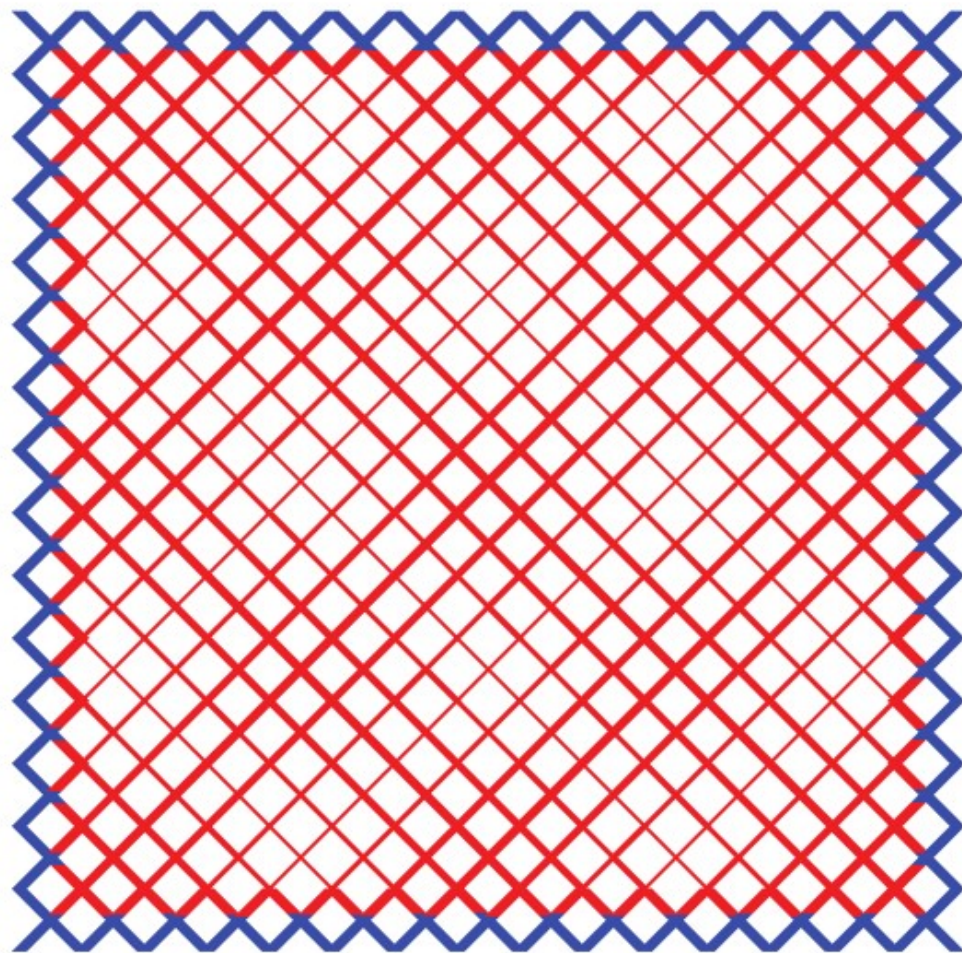


## 7. Новый метод распределения жидкости в узлах

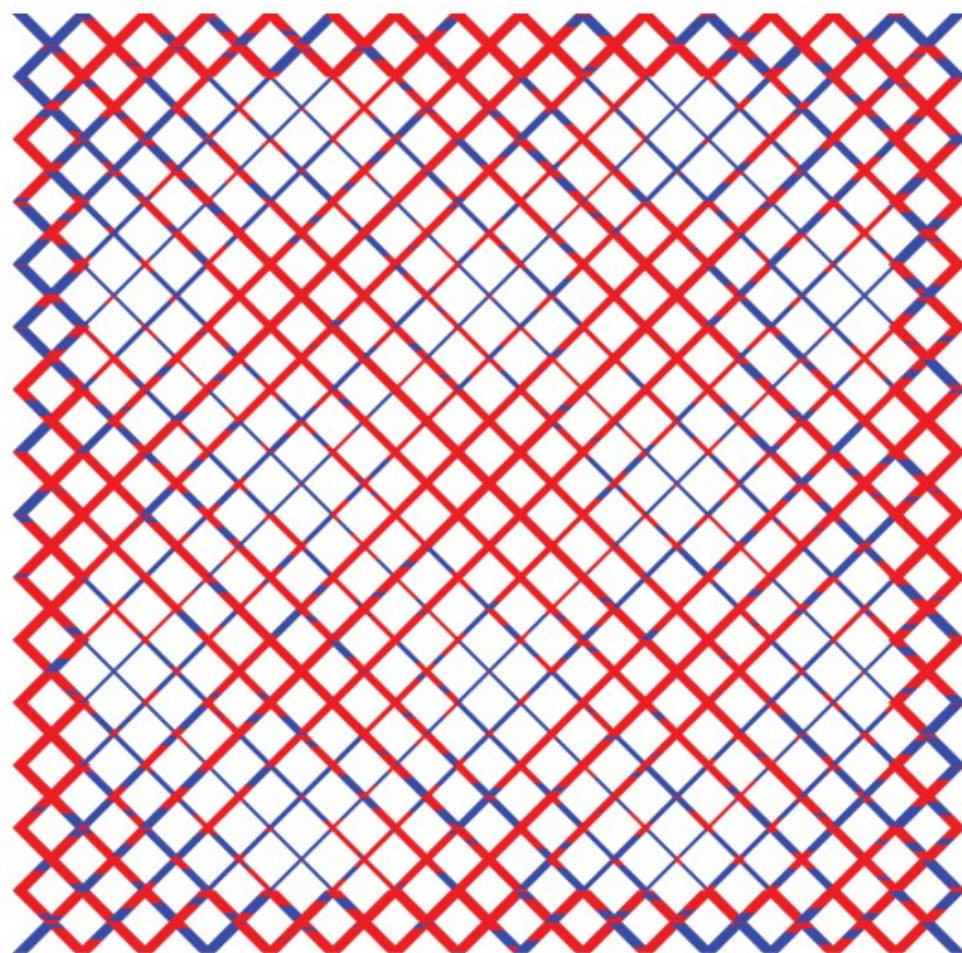
Когда смачивающая и несмачивающая жидкости поступают в узел на шаге интегрирования по времени, смачивающая жидкость поступает в более тонкие капилляры.



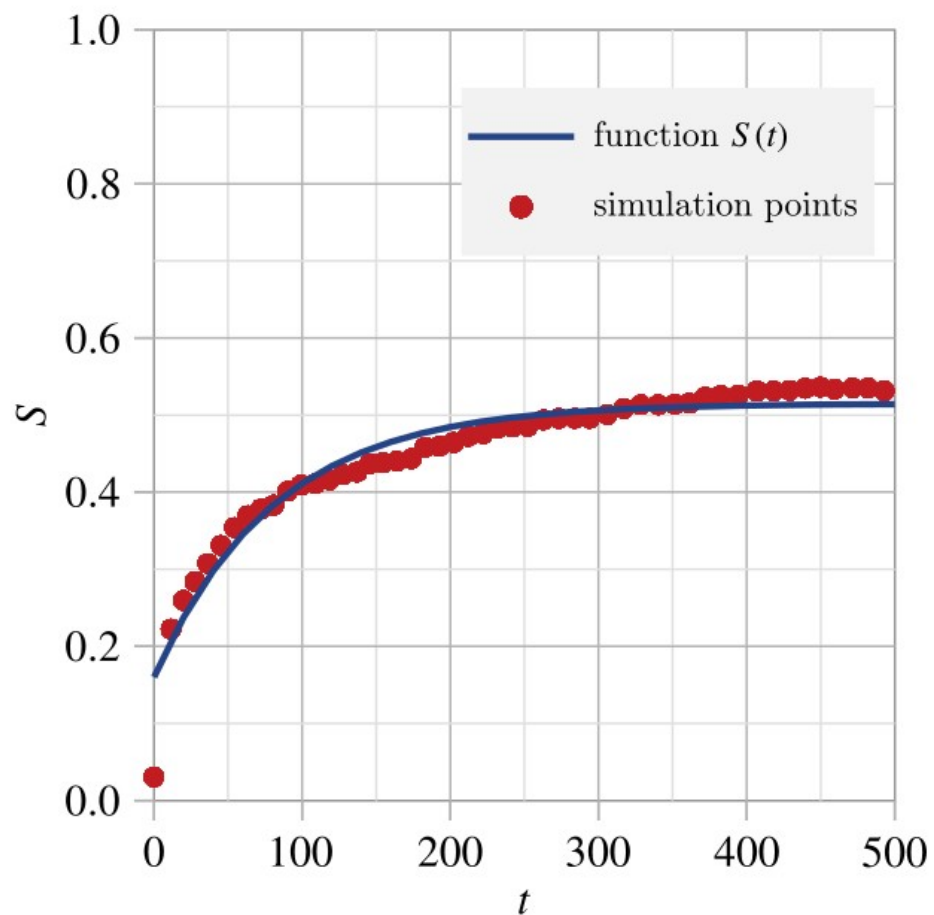
## 8. Моделирование пропитки (imbibition)



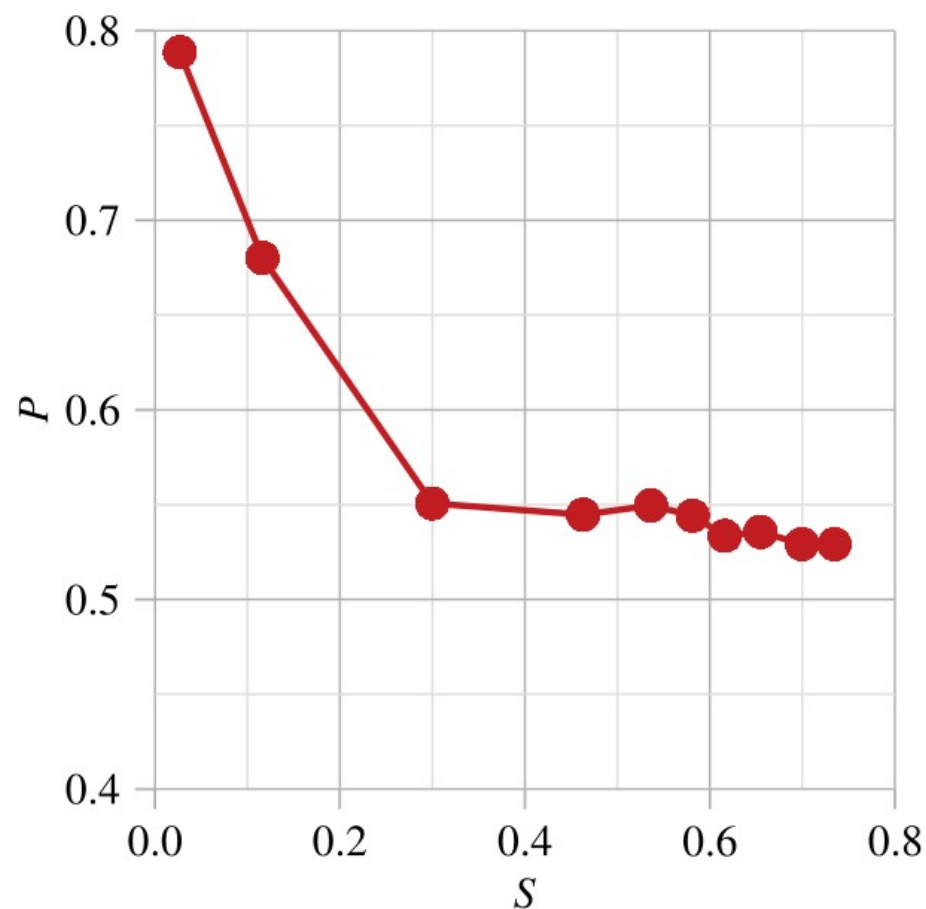
(a)  $S_{\text{sys}} = 0.29, S_{\text{inner}} = 0$



(b)  $S_{\text{sys}} = 0.29, S_{\text{inner}} = 0.30$



(a) Saturation vs time



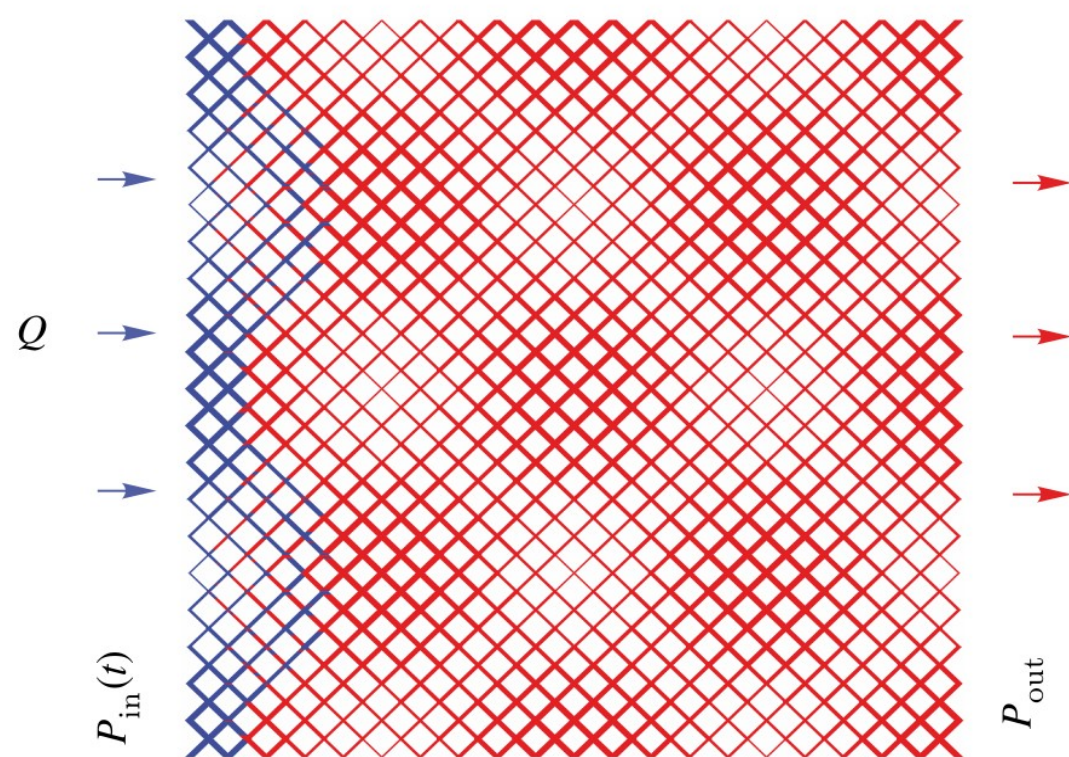
(b) Capillary pressure vs saturation

$S$ ,  $P$ ,  $t$  — безразмерные величины

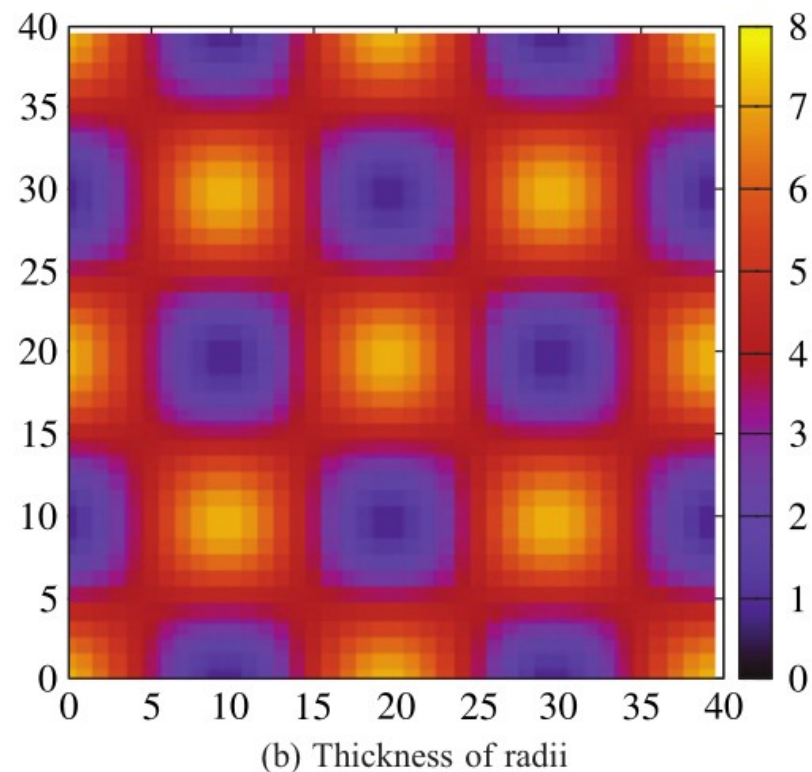
Эти результаты были представлены на 66-й конференции  
МФТИ и опубликованы в статьях.



## 9. Модель с периодической неоднородностью



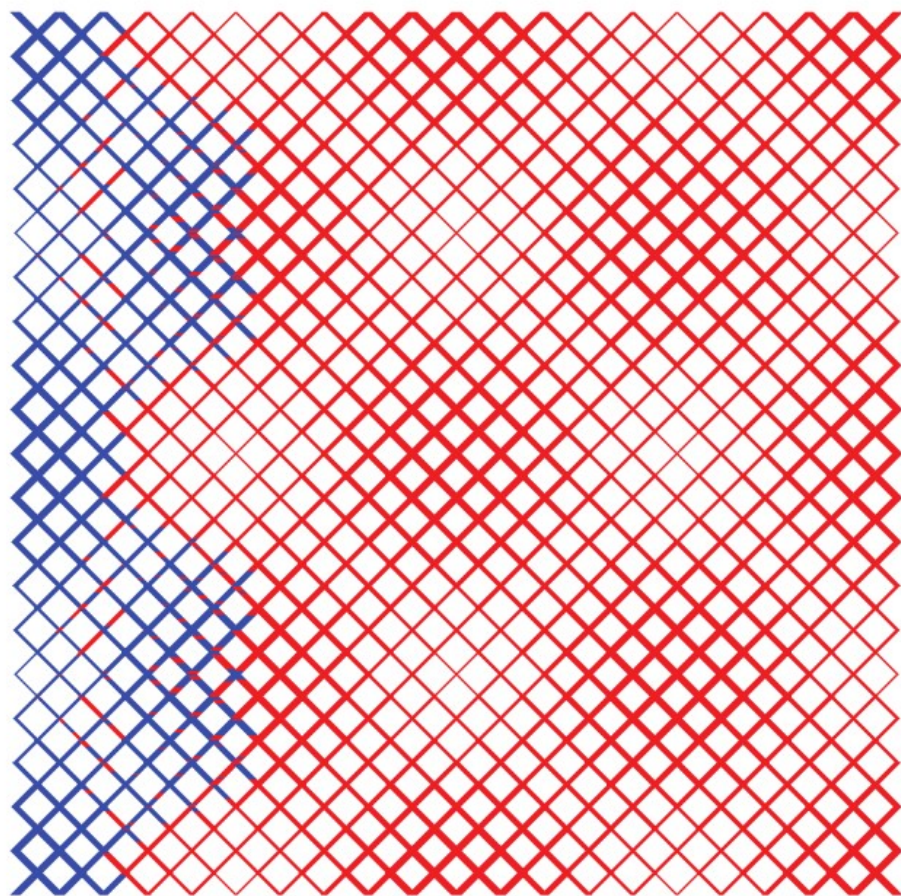
Расчетная область, состоящая из 21x21 узлов. Смачивающая жидкость (обозначена синим цветом) вводится с постоянной скоростью в систему капилляров, первоначально насыщенных несмачивающей жидкостью (обозначена красным цветом)



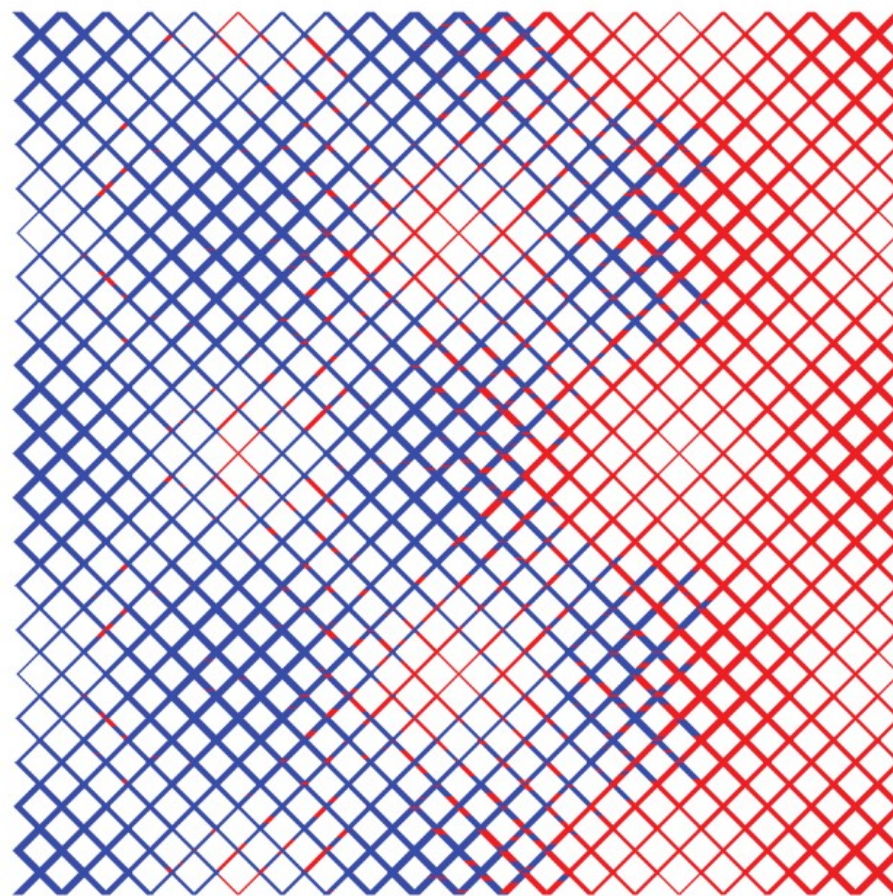
$$R(x, y) = A(1 + B \cos(k_x x) \cos(k_y y)),$$



## 9. Потока с трубками одинаковой длины и различного радиуса



(a)  $t = 2000$

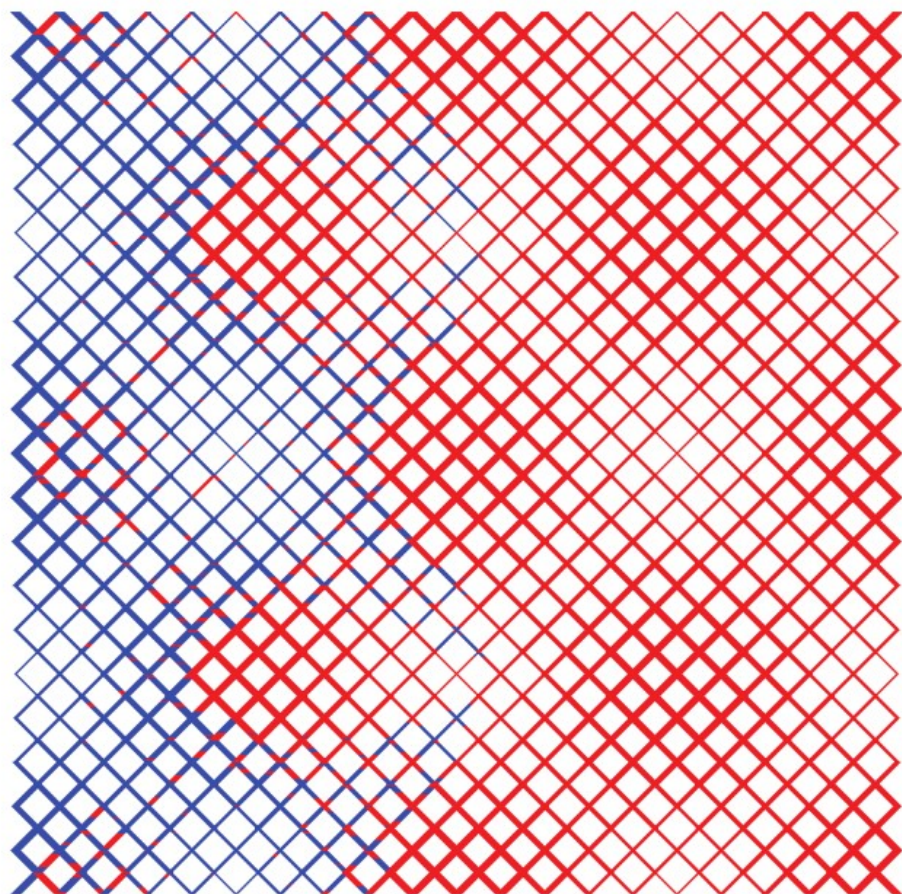


(b)  $t = 6000$

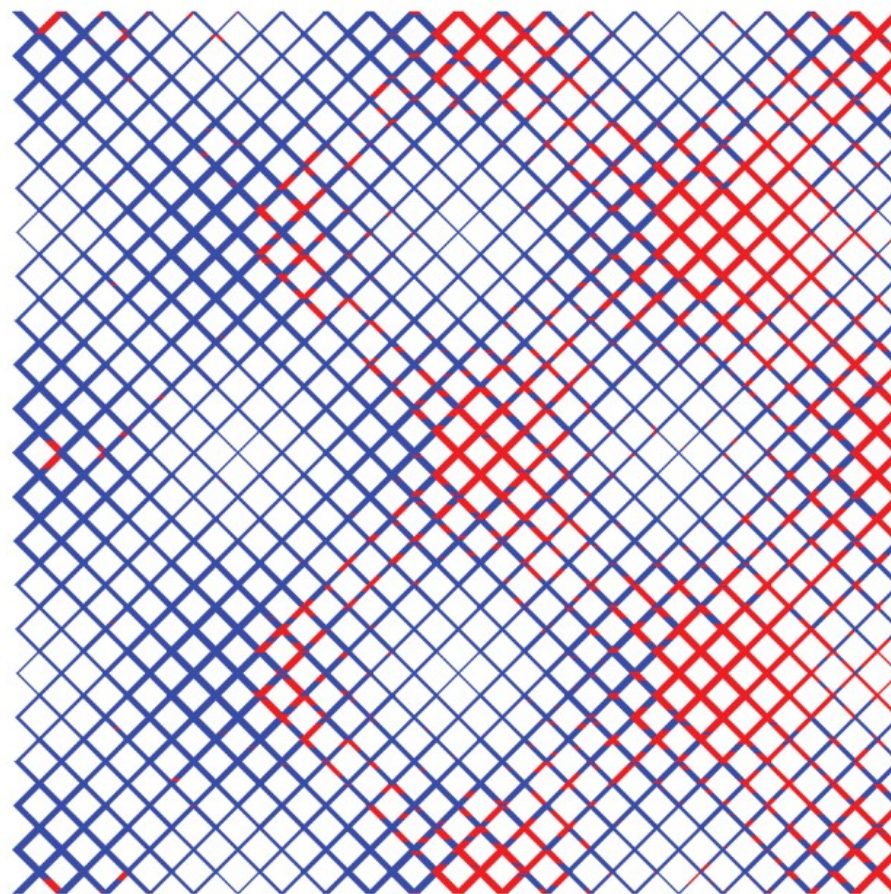
Низкое поверхностное натяжение



## 9. Потока с трубками одинаковой длины и различного радиуса

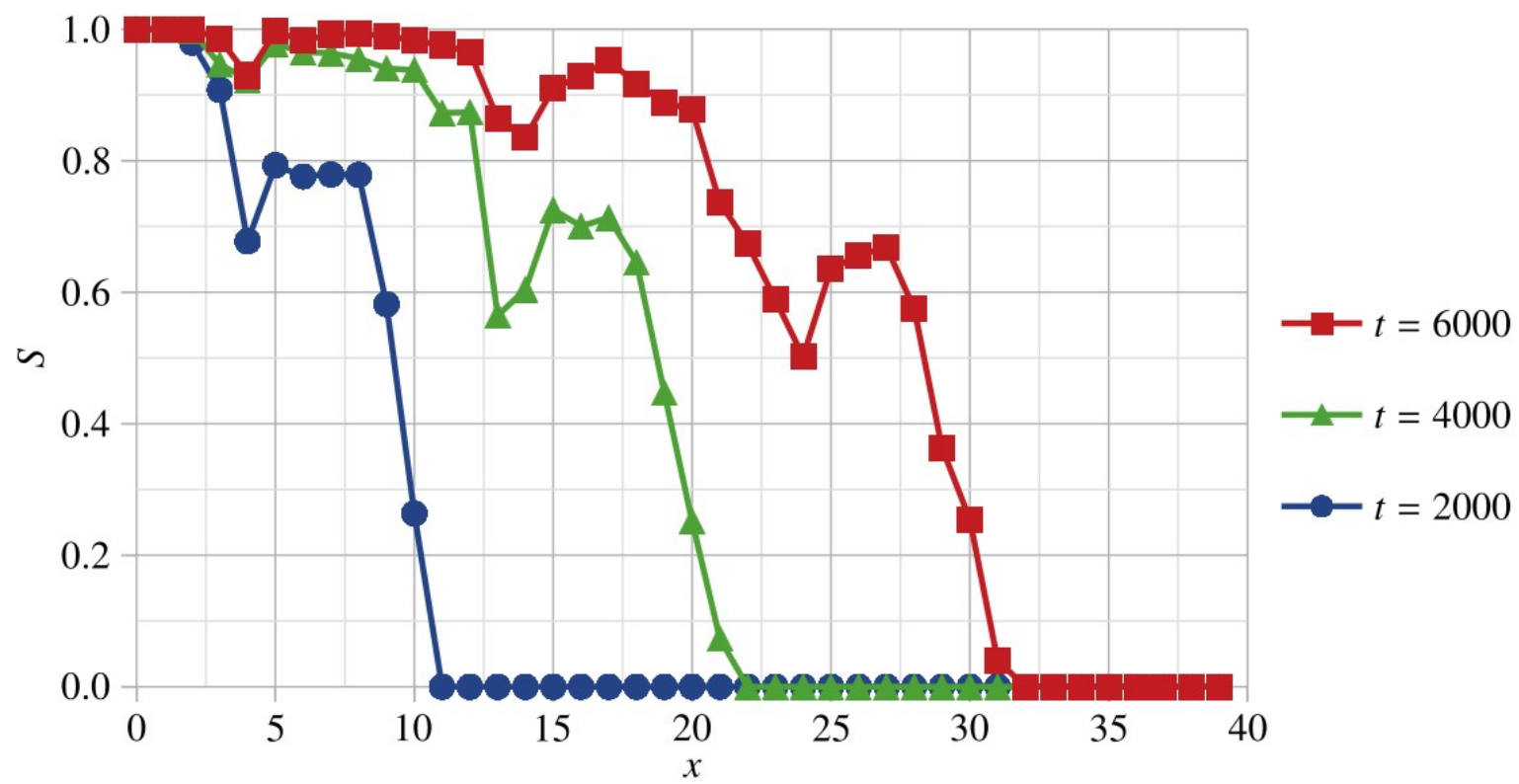


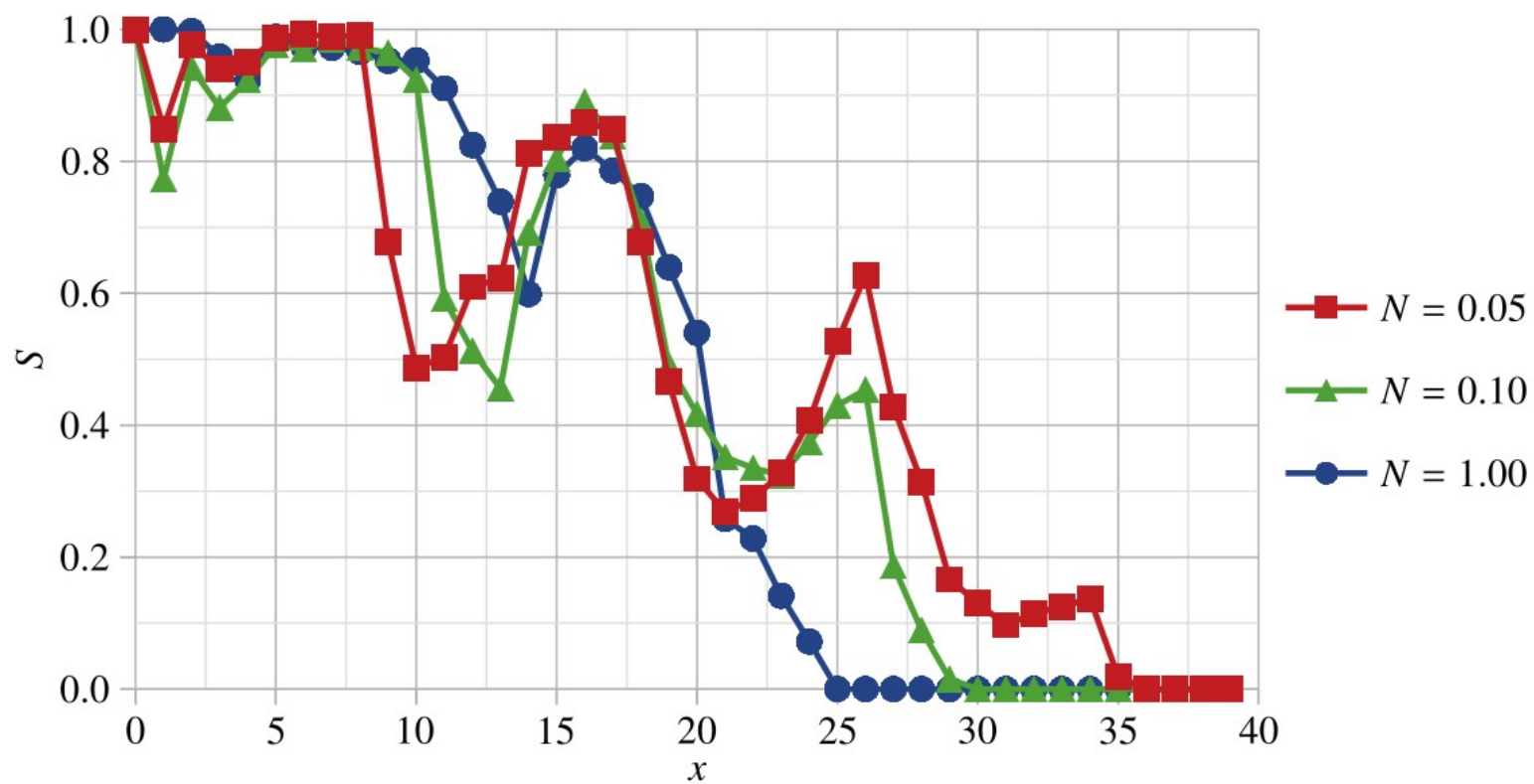
(a)  $t = 2000$



(b)  $t = 6000$

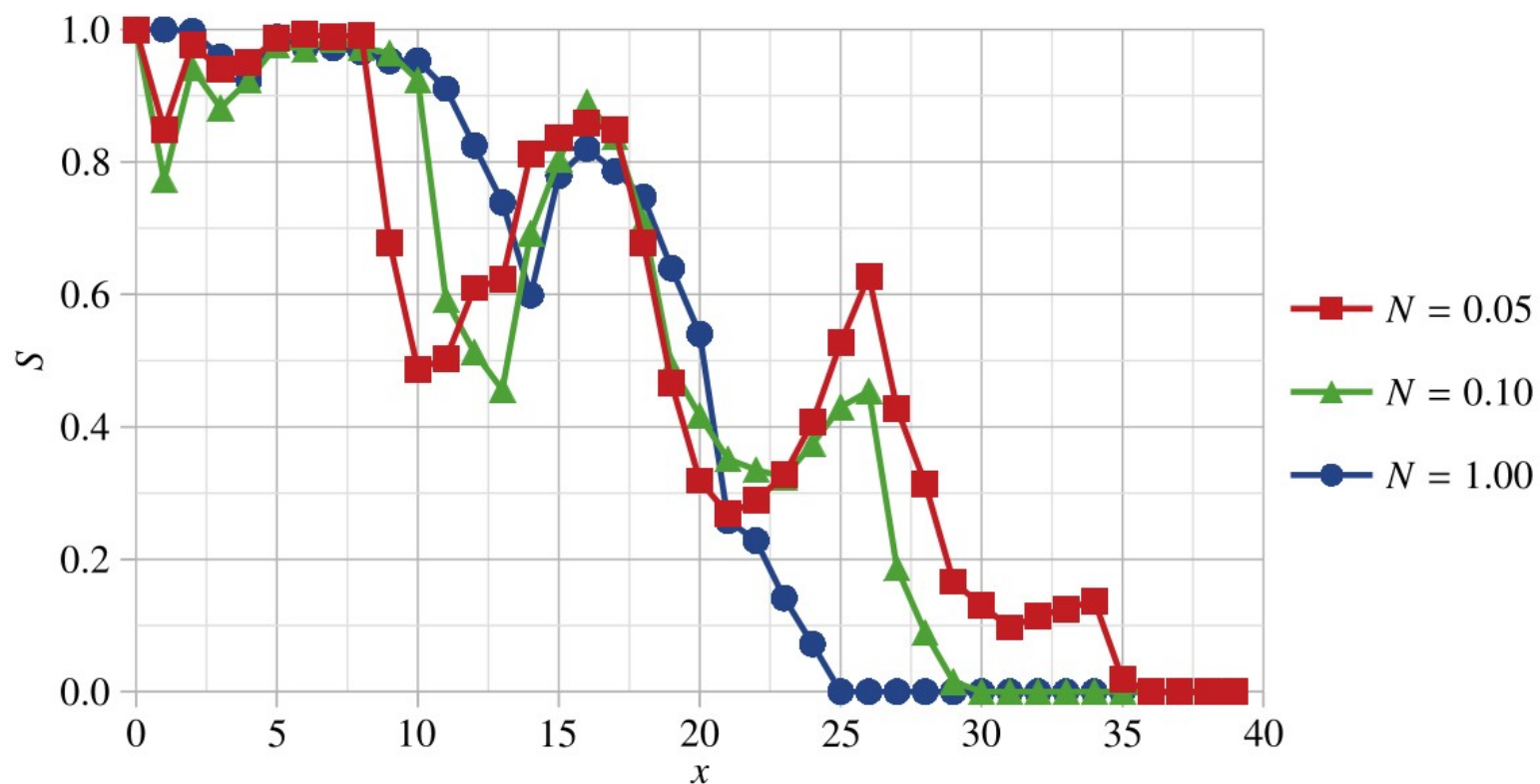
Высокое поверхностное натяжение





$N$  — capillary number  $\sim 1/\sigma$

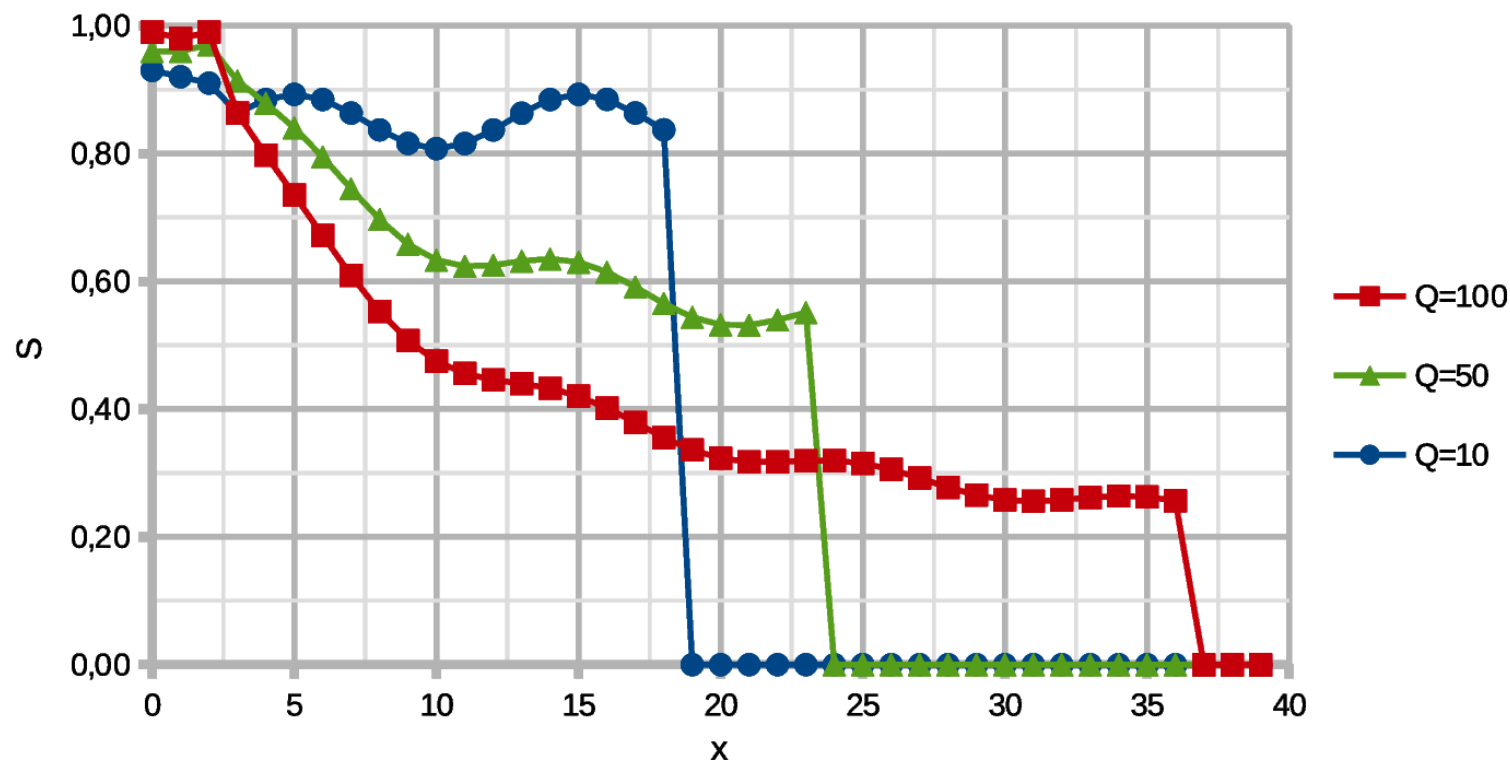




Недостатки:

- Сильное влияние периодичности на кривые

## 10. Потока с трубками одинакового объёма и различного радиуса (среда с однородной пористостью и переменной проницаемостью)



$$l_i = \frac{A}{r_i^2}$$

$$Q = \{100, 50, 10\}$$

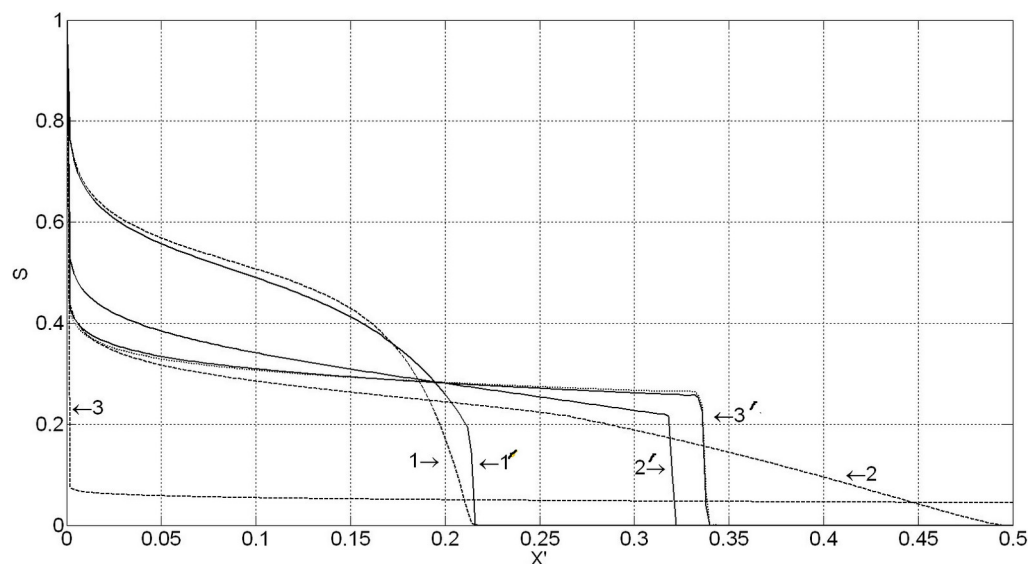
$$T = \{10, 20, 100\},$$

Зависимость средней насыщенности смачивающей жидкости  $S$  от  $x$  для различных безразмерных объемных расходов  $Q$  в разные моменты времени



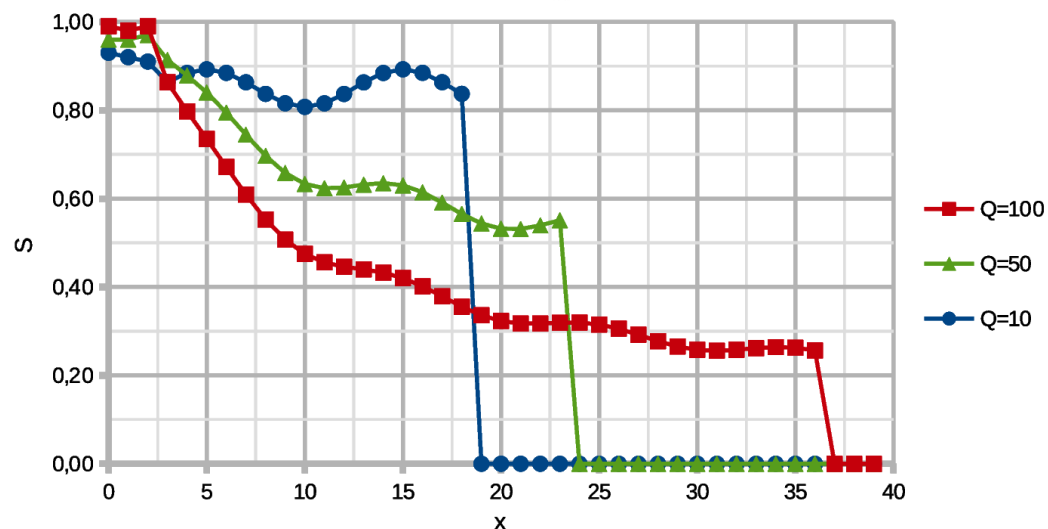
# 11. Аналитическое решение на основе модели Кондауровой

$X'$  -  
Континуальная  
модель  
Кондаурова



Сетевая  
модель

Поскольку моделирование на основе модели Кондаурова является одномерным, и мы усреднили поперечные сечения по оси  $X$ , сравнение является правомерным.

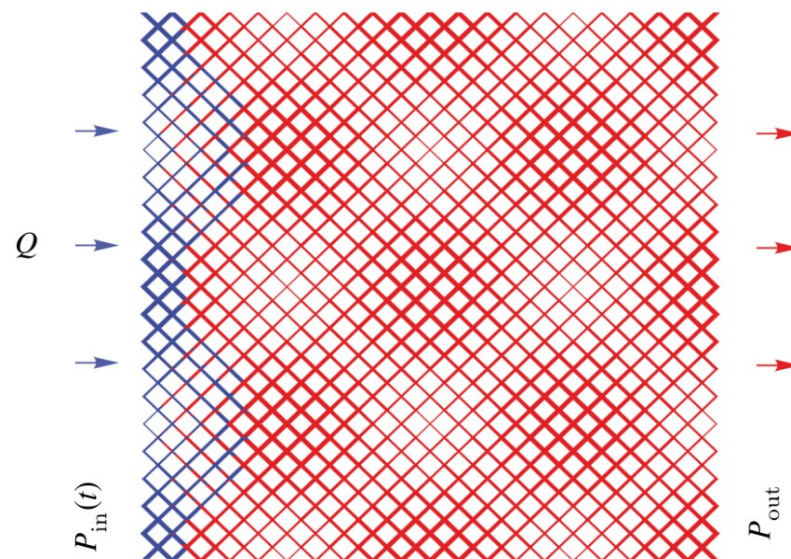
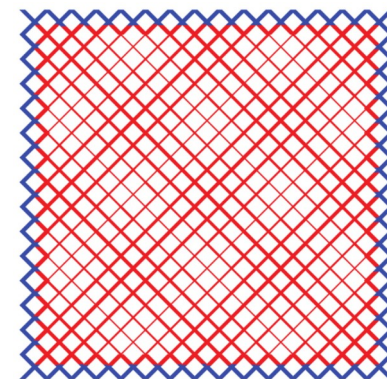
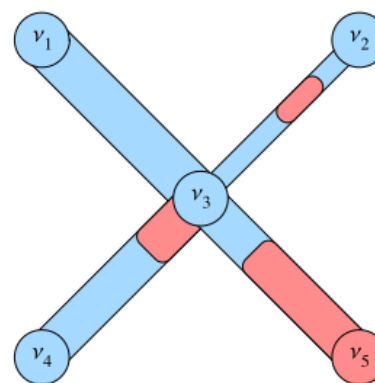


# 12. Выводы

Та же сетевая модель смогла объяснить процесс пропитки, а полученные кривые течения подтвердили адекватность континуальных моделей.

Таким образом, наша сетевая модель пригодна для моделирования и других явлений.

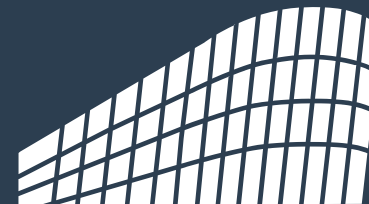
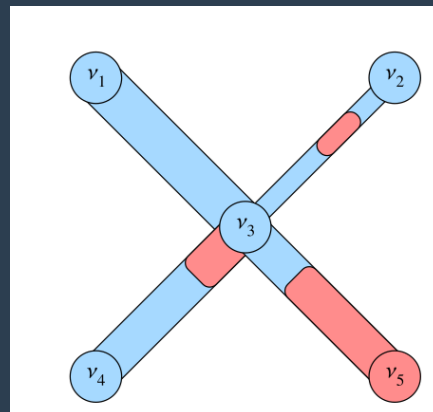
Работа будет продолжена в аспирантуре.



# Литература

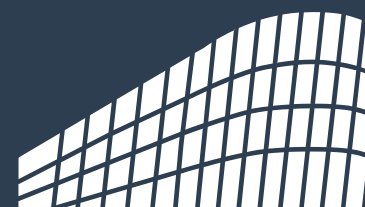
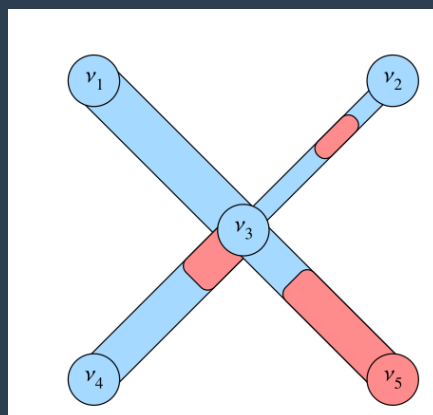
1. **Shabbir K., Izvekov O. Ya., Konyukhov A. V.** Simulation of two-phase flow in porous media using an inhomogeneous network model // Computer research and modeling, 2024, V. 16(4), P. 913–925.
2. **Шаббур К., Извеков О. Я., Вамси Б.** Моделирование пропитки пористой среды с помощью двумерной сетевой модели // Труды МФТИ, 2024, Т. 18(2), С. 41–50.
3. **Zubov et al.** Pore-network extraction using discrete Morse theory: Preserving the topology of the pore space // Physical Review, 2022, V. 106(5).
4. **Kondaurov V. I.** A non-equilibrium model of a porous medium saturated with immiscible fluids // Journal of Applied Mathematics and Mechanics, 2009, V. 73(1), P. 88–102.
5. **Hassanizadeh S.** Continuum description of thermodynamic processes in porous media: Fundamentals and applications // Modeling Coupled Phenomena in Saturated Porous Materials, 2004, P. 179–223.
6. **Barenblatt G. et al.** The mathematical model of nonequilibrium effects in water – oil displacement // SPE journal, 2003, V. 8(4), P. 409–416.
7. **Aker E. et al.** A two-dimensional network simulator for two-phase flow in porous media // Transport in porous media, 1998, V. 32, P. 163–186.

# Спасибо! Вопросы пожалуйста.



**67**  
ВСЕРОССИЙСКАЯ  
НАУЧНАЯ  
КОНФЕРЕНЦИЯ  
МФТИ

№	Тема (номер слайда)	№	Тема (номер слайда)
4.	Сетевая модель (5)	9.	Потока с трубками одинаковой длины и различного радиуса (13)
6.	Наша сетевая модель (7)	10.	Потока с трубками одинакового объёма и различного радиуса (18)
7.	Новизна: перераспределение жидкости в узлах (9)	11.	Сравнение с континуальными моделями (19)
8.	Моделирование пропитки (10)	12.	Выводы (20)



**67**  
ВСЕРОССИЙСКАЯ  
НАУЧНАЯ  
КОНФЕРЕНЦИЯ  
МФТИ



# Dimensionless

Let us formulate the equations in dimensionless form by introducing the linear scale  $L_m$ , the pressure scale  $P_m$  and the dynamic viscosity scale  $\mu_m$ , such that:  $x = L_m \tilde{x}$ ,  $R_{ij} = L_m \tilde{R}_{ij}$ ,  $l_{ij} = L_m \tilde{l}_{ij}$ ,  $t = t_m \tilde{t}$ ,  $v_{ij} = v_m \tilde{v}_{ij}$ ,  $P = P_m \tilde{P}$ ,  $M_{ij} = \mu_m \tilde{M}_{ij}$ . We define:

$$v_m \equiv \frac{L_m P_m}{\mu_m}, \quad t_m \equiv \frac{L_m}{v_m}. \quad (15)$$

The flow equations in dimensionless form are

$$\frac{d\tilde{x}_{ij}}{d\tilde{t}} = \tilde{v}_{ij}, \quad (16)$$

$$\tilde{v}_{ij} = \frac{\tilde{R}_{ij}^2}{8\tilde{M}_{ij}\tilde{l}_{ij}} \left( \Delta\tilde{P}_{ij} + \frac{1}{N} \frac{2s_{ij}}{\tilde{R}_{ij}} \right), \quad (17)$$

# Dimensionless

where  $N$  is the capillary number, which is a dimensionless parameter characterizing the relationship between the viscous and the capillary forces:

$$N = \frac{v_m \mu_m}{\sigma} = \frac{L_m P_m}{\sigma}. \quad (18)$$

Note that the capillary number  $N$  can be expressed in terms of the radius  $R_{\text{ref}}$  and the length  $l_{\text{ref}}$  of the tube, with a pressure difference at the ends of the capillary of scale  $P_m$ :

$$\tilde{v}_{ij} = \frac{\tilde{R}_{ij}^2}{8\tilde{M}_{ij}\tilde{l}_{ij}} \left( \Delta\tilde{P}_{ij} + \frac{\alpha}{N_c} \frac{2s_{ij}}{\tilde{R}_{ij}} \right), \quad (19)$$

$$N_c \equiv \frac{R_{\text{ref}}^2 P_m}{8l_{\text{ref}}\sigma}, \quad \alpha = \frac{N_c}{N} = \frac{R_{\text{ref}}^2}{8l_{\text{ref}}L_m}. \quad (20)$$